

# インクリメンタルに更新可能な XPush マシンにおける フィルタ交換のコスト削減

武川 肇<sup>†1</sup> 片山 薫<sup>†2</sup> 石川 博<sup>†3</sup>

フィルタリングは多くの XML システムで主要な機能である。以前に我々はフィルタの部分交換が可能なフィルタエンジン用オートマトンを提案した。しかしその交換方法では、フィルタの分離や結合を同時に数多く行うと、部分交換は再構築よりも時間コストが高くなる。この問題を解決するため、フィルタの部分交換時のオートマトン更新を XML データ評価時まで遅延させる方法を提案する。

## Efficient Filter Exchange Method in an Incrementally Updatable XPush Machine

Hajime TAKEKAWA,<sup>†1</sup> Kaoru KATAYAMA<sup>†2</sup> and Hiroshi ISHIKAWA<sup>†3</sup>

Filtering is the principal function in many XML systems. Recently we proposed the automaton for a filter engine in which filters can be exchanged. However, time cost in this exchange method will become higher rather than that of reconstruction if many separations and additions of filters are performed simultaneously. The method of delayed automaton updating for the partial exchange filters until the moment of XML data evaluation is proposed to solve this problem.

### 1. はじめに

Publish/Subscribe システム[6][8]や XML 配信システム[1]などの様々な XML システムにおいて、フィルタリングは主要な機能である。典型的にこれらのシステムでは XML データごとにフィルタのパターンが含まれるか否かの判定を行うが、このときフィルタの数が問題となる。

Gupta らは、フィルタ条件の数が増えても XML システムのデータ評価のスループットが維持できるように、全フィルタを、1 つの決定性プッシュダウンオートマトン(XPush マシン)として、ボトムアップに結合する構築法を提案した[5]。XML システムは XML データをストリームとして処理しながら、タグや値ごとの各イベントで、XPush マシンの参照を行う。XPush マシンは、参照時に渡されるタグや値から、まとめて全フィルタの判定を行う。XPush マシンは各イベント時の参照負荷が一定に保てるようになっている。ただし未知の XML データ(構造)に対しては各イベントで構築処理が発生する。

XPush マシン構築処理は、XPush マシンの内部状態数の爆発を防ぐために、データ評価時まで遅延させる必要があ

った。そこで Gupta らは XPush マシンの参照時に少しずつ完全な(complete)XPush マシンへと近づけ、そのときの結果を状態遷移表に保持する仕組みを用いた。XPush マシンは評価したことがあるデータと同じ構造のときには、状態遷移表を参照するだけであり、構築処理を行わない。そのため XPush マシンは同じ構造のデータを効率よく処理できる。

しかし Gupta らの構築法にはオートマトンの更新機能がないため、フィルタの部分交換の実現には XPush マシン全体の再構築が必要となる。ところが XPush マシン構築処理はフィルタ数に依存するためコストが高く、したがって再構築は XML システムのスループットを低下させる。

そこで我々は問合せごとに構築したサブ XPush マシンの集合から全体のオートマトンを構築する手法を提案した[2]。サブ XPush マシンを全体のオートマトン(統合型 XPush マシン)に結合でき、その結合処理では統合型 XPush マシンに對してインクリメンタルな更新が行える。また分離処理も同様に行える。

統合型 XPush マシンによって、フィルタの部分交換(分離と結合)が可能となる。しかしその更新方法では、フィルタの部分交換を同時に数多く行うと、部分交換は再構築よりも時間コストが高くなる。この問題を解決するため、フィルタの部分交換時のオートマトン更新を XML データ評価時まで遅延させる方法を提案する。

<sup>†1</sup> 職業能力開発総合大学校、静岡大学創造科学技術大学院<sup>†2</sup> 首都大学東京システムデザイン学部<sup>†3</sup> 静岡大学情報学部情報科学科

本稿の構成は、続く2章で提案方式について述べ、3章でフィルタ部分交換の実験概要と実験結果を示す。

## 2. 提案方式

この節では統合型XPushマシンの概要および本提案のフィルタ部分更新法について述べる。

### 2.1 統合型XPushマシンの概要

統合型XPushマシンの概要を図1に示す。統合型XPushマシンにおけるフィルタ条件はXPath[3]で記述し、この条件をXPathフィルタという。XPathフィルタの定義はGuptaらのXPushマシン[5]のものと同じである。例1に統合型XPushマシンで利用するXPathフィルタの例を示す。

#### 例1 [Running Example]

P1 : //a[@b>=10 and @b<20]

P2 : //a[@b<20]

XPathフィルタはコンパイラによってサブXPushマシンへと変換される。図1でM1～M5はサブXPushマシンを表す。サブXPushマシンはフィルタグループ単位に作成される。現在フィルタグループには問合せ単位(例えばXSLT[4]などのテンプレートやmultiple predicate[7])を想定している。なおサブXPushマシンは従来のXPushマシンとほぼ同じ構造であるため、サブXPushマシン内の部分フィルタ交換はできない。しかしサブXPushマシンは統合型XPushマシンに結合でき、その結合処理では統合型XPushに対してインクリメンタルな更新が行える。また外部記憶を利用したサブXPushマシン単位の分離と再結合処理が行える。

統合型XPushマシンはフィルタグループごとに分割管理されたサブXPushマシンとインクリメンタルに更新可能な統合結合状態表と4種類の統合結合状態遷移表で構成されている。統合結合状態表のXと統合結合状態遷移表のTpop, Tadd, Tvalue, TacceptはサブXPushマシンを集計するために用意された表である。

### 2.2 分離処理の遅延方法

本方式では従来方式の分離処理[2]を次のように改良する。「サブXPushマシンの分離指示時が行われたときは、そのidだけ記録して、システムが忙しくないときにまとめて分離処理を行う。」

### 2.3 結合処理の遅延方法

本方式では従来方式の結合処理[2]を次のように改良する。「統合結合状態表Taddに構築済みの値は更新しない。」なぜTaddを更新しないのかについて以下に説明する。

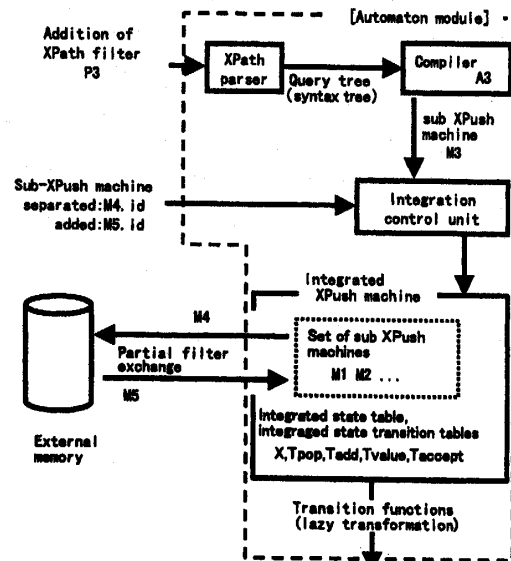
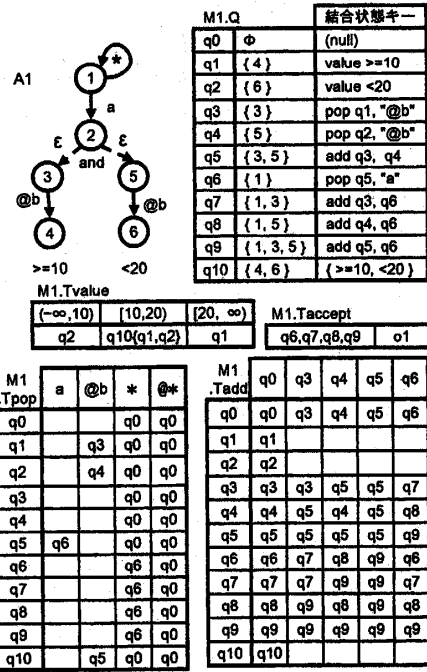


図1 統合型XPushマシンの概要

例1のP1のサブXPushマシンM1を図2aに示す。図2aのA1はP1をコンパイルして得られる非決定性有限オートマトンである。これを葉から遷移させ、葉を持つ部分木を全て導き出したものがサブXPushマシンとなる。Mi.Qは内部状態(XPush状態という)のコレクションである。Mi.TvalueはXMLデータの値を評価するときに参照される。Mi.Tpopは葉から根方向への遷移を評価するときに参照される。Mi.TaddはXMLデータのある要素の全ての子(要素および属性)の総和を計算するときに参照される。図2bにはM1だけが結合された統合状態表と統合結合状態遷移表が示されている。なお実際にはM1.TvalueとTvalueのそれら以外の表に記載されている値のほとんどは、XMLデータ評価時まで構築が遅延される。

ここで図2cに示された例2のP2のサブXPushマシンM2を図2bの表に結合する際の、インクリメンタルな更新について説明する。結合アルゴリズム[2]によって、前世代(ここでは図2bの表)およびM2を入力として、図2dの世代関係が導かれる。世代関係は前世代の内部状態と結合中のサブXPushマシンの内部状態の組を表す。結合アルゴリズムはこの世代関係を利用して、インクリメンタルに図2bの統合結合状態遷移表を更新し、図2eへと変化させる。このときTpopは前世代の値が上書きされる可能性がある。たとえばTpop[x3][a]は、x0(空欄の場合\*を参照する決まりとなっている)からx10へと変化している。一方、Taddは結合処理によって前世代の値を上書きされることはない。このことを本方式に応用了した。なおTaddが上書きされないことについての証明は今後の課題とする。



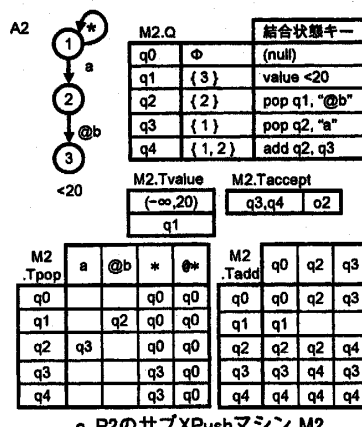
**b. 統合状態表と統合結合状態遷移表 (M1)**

X	M1	統合結合状態キー
x0	q0	(null)
x1	q1	value >=10
x2	q2	value <20
x3	q4	pop x2, "@b"
x4	q3	pop x1, "@b"
x5	q5	add x3, x4
x6	q6	pop x5, "a"
x7	q8	add x3, x6
x8	q7	add x4, x6
x9	q9	add x4, x7
x10	q10	(>=10, <20)

Value	(-∞, 10] [10, 20) [20, ∞)	Taccept
x2	[10, 20) x10(x1, x2)	x1
x1	[20, ∞) x6, x7, x8, x9	o1

Tpop	a	@b	*	@*
x0			x0	x0
x1	x4	x0	x0	
x2	x3	x0	x0	
x3		x0	x0	
x4		x0	x0	
x5	x6	x0	x0	
x6	x6	x0	x0	
x7	x5	x3	x5	x5
x8	x4	x4	x4	x8
x9	x5	x5	x5	x9
x10	x6	x7	x6	x6
x11	x7	x7	x9	x7
x12	x8	x8	x9	x8
x13	x9	x9	x9	x9
x14	x10	x0	x0	x0

Tadd	x0	x3	x4	x5	x6
x0	x0	x3	x4	x5	x6
x1	x1				
x2	x2				
x3	x3	x3	x5	x5	x7
x4	x4	x4	x4	x5	x8
x5	x5	x5	x5	x5	x9
x6	x6	x6	x7	x8	x6
x7	x7	x7	x9	x9	x7
x8	x8	x8	x9	x8	x8
x9	x9	x9	x9	x9	x9
x10	x10	x10	x10	x10	



**d. 世代関係**

前世代 M2	前世代 M2
x0 x0 q0	x10 x0 q3
x1 x1 q0	x11 x3 q4
x2 x2 q1	x12 x4 q3
x3 x3 q2	x13 x5 q4
x4 x4 q0	
x5 x5 q2	
x6 x6 q3	
x7 x7 q4	
x8 x8 q3	
x9 x9 q4	

**e. 統合結合状態表と統合結合状態遷移表 (M1 + M2)**

X	M1	M2	統合結合状態キー
x0	q0	q0	(null)
x1	q1	q1	value >=10
x2	q2	q2	value <20
x3	q4	q2	pop x2, "@b"
x4	q3	q0	pop x1, "@b"
x5	q5	q2	add x3, x4
x6	q6	q3	pop x5, "a"
x7	q8	q4	add x3, x6
x8	q7	q3	add x4, x6
x9	q9	q4	add x4, x7
x10	q10	q1	(>=10, <20)

Tvalue	(-∞, 10] [10, 20) [20, ∞)	Taccept
x2	[10, 20) x14(x1, x2)	x1
x1	[20, ∞) x10, x11, x12, x13	o1, o2

Tpop	a	@b	*	@*	Tadd	x0	x3	x4	x5	x6	x10
x0			x0	x0	x0	x0	x3	x4	x5	x6	x10
x1	x4	x0	x0	x1	x1						
x2	x3	x0	x0	x2	x2						
x3	x10	x0	x0	x3	x3	x5	x5	x5	x7	x11	
x4	x0	x0	x0	x4	x4	x5	x4	x5	x8	x12	
x5	x6	x0	x0	x5	x5	x5	x5	x5	x9	x13	
x6	x6	x0	x0	x6	x6	x7	x8	x9	x6	x6	
x7	x6	x0	x0	x7	x7	x7	x9	x9	x7	x7	
x8	x6	x0	x0	x8	x8	x8	x9	x8	x8	x8	
x9	x6	x0	x0	x9	x9	x9	x9	x9	x9	x9	
x10	x10	x0	x0	x10	x10	x11	x12	x13	x6	x10	
x11	x10	x0	x0	x11	x11	x11	x13	x13	x7	x11	
x12	x10	x0	x0	x12	x12	x12	x13	x13	x8	x12	
x13	x6	x10	x0	x13	x13	x13	x13	x13	x9	x13	
x14	x5	x0	x0	x14	x14						

図2 サブXPushマシンを統合型XPushマシンに結合するときの統合結合状態表と統合結合状態遷移表の変化

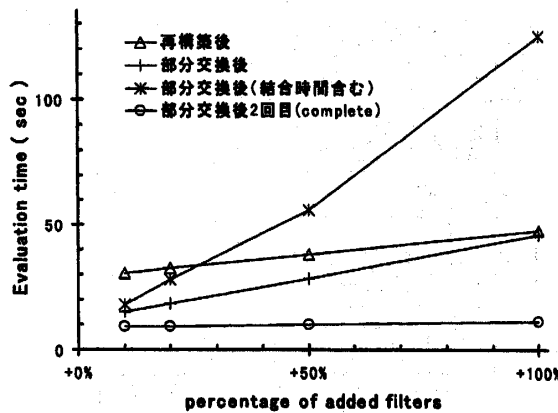


図3 従来方式によるデータ評価時間 (フィルタ総数=1,000)

### 3. 実験

ここでは統合型XPushマシンのフィルタ部分交換に関する実験概要と実験結果を示す。

#### 3.1 実験概要

実験は提案方式のフィルタエンジンをJavaで実装し、これをRed Hat Linux 8.0上で使用した。使用したコンピュータのCPUはPentiumIV 3.3GHz、メモリ2Gである。XMLパーサにはxerces2.6.2 (<http://xml.apache.org>)を利用した。

実験データにはProtein (<http://pir.georgetown.edu>)を利用した。Proteinは700MBあるデータセットであり、これを9.12MBのサイズに分割したもの用いた。XPathフィルタはXMLデータからランダムに作成するプログラムで生成し、各実験において必要数分だけ利用した。

**予備実験1:** まず1フィルタグループあたりのフィルタ数(以降、グループサイズ)が20で、総フィルタ数が $1,000+10\% (=20\times 50\text{組}+20\times 5\text{組})$ のXPathフィルタをコンパイルした後、1つに結合して提案方式の統合型XPushマシンを再構築した。そしてデータ9.12MBを1回評価させ、その際のデータ評価時間を測定した。次に全フィルタの10%を分離し、その分離したフィルタを結合させ、同じデータを2回評価させた。その際に結合処理時間とデータ評価時間を測定した。同様に総フィルタサイズが $1,000+20\%, +50\%, +100\%$ に対しても行った。

**実験1:** 提案方式で、予備実験1と同じ実験をした。

**実験2:** まずグループサイズが10で、総フィルタ数が $1,000+10\% (=10\times 100\text{組}+10\times 10\text{組})$ のXPathフィルタをコンパイルした後、1つに結合して提案方式の統合型XPushマシンを再構築し、予備実験1と同じデータを1回評価させた。次に全フィルタの10%を分離し、その分離したフィルタを結合させ、そのときの結合処理時間とデータ評価時間を測定した。同様に総フィルタサイズが $1,000+20\%, +50\%, +100\%$ に対しても行った。

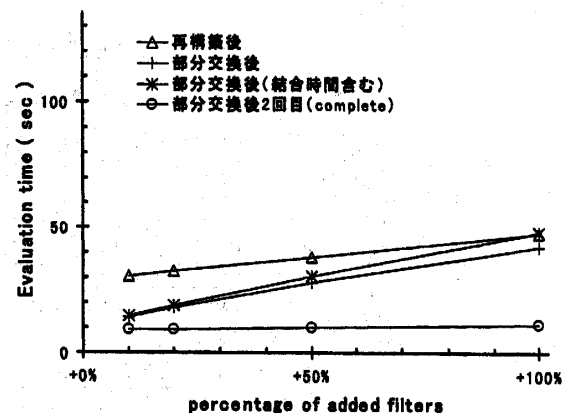


図4 提案方式によるデータ評価時間 (フィルタ総数=1,000)

+100%に対しても測定した。さらにグループサイズを20, 50に対しても行った。

**実験3:** まずグループサイズが10で、総フィルタ数が $500+20\% (=10\times 50\text{組}+10\times 10\text{組})$ のXPathフィルタをコンパイルした後、1つに結合して提案方式の統合型XPushマシンを再構築し、予備実験1と同じデータを評価させた。次に全フィルタの20%を分離し、その分離したフィルタを結合させ、そのときの結合処理時間を測定した。同様に総フィルタサイズが1,000, 2,000, 5,000に対しても行った。さらにグループサイズ20, 50で同じ実験をした。

**実験4:** まず総フィルタ数が1,000のXPathフィルタをグループサイズが20( $\times 50\text{組}$ )でコンパイルした後、1つに結合して提案方式の統合型XPushマシンを再構築し、予備実験1と同じデータを評価させた。次にフィルタ総数の10%( $=20\times 5\text{組}$ )のフィルタを分離し、そのときの分離処理時間を測定した。同様に90%まで10%間隔で分離割合を増やし測定した。さらにグループサイズを20, 50に対しても同じ実験をした。

#### 3.2 実験結果

予備実験1の測定結果を図3に示す。再構築後のデータ評価時間はフィルタ結合割合が増えると増加する傾向があり、+10%のときに30秒、+100%のときに47秒であった。一方、部分交換後のデータ評価時間は+10%のときに15秒、+100%のときに45秒であり、部分結合の方が、再構築よりも、時間コストが低い結果となった。しかし結合処理時間を含めると、+10%のときに18秒、+100%のときに125秒であり、図3のグラフでは+25%以上では再構築よりも、時間コストが高い結果となった。

実験1の測定結果を図4に示す。再構築後のデータ評価時間は従来方式と同じであった。一方、提案方式の部分交換後のデータ評価時間は+10%のときに14秒、+100%のときに42秒であり、従来方式と比べ、時間コストは低

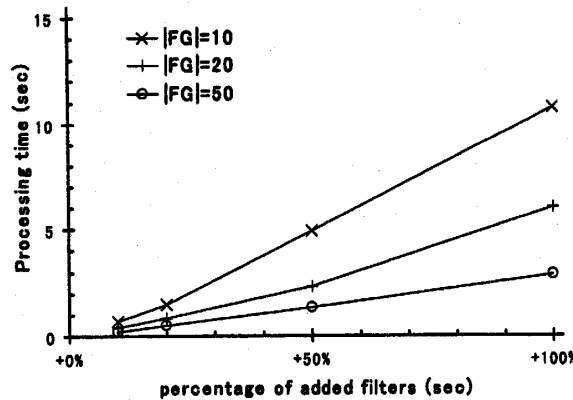


図5 結合処理時間（フィルタ総数=1,000）

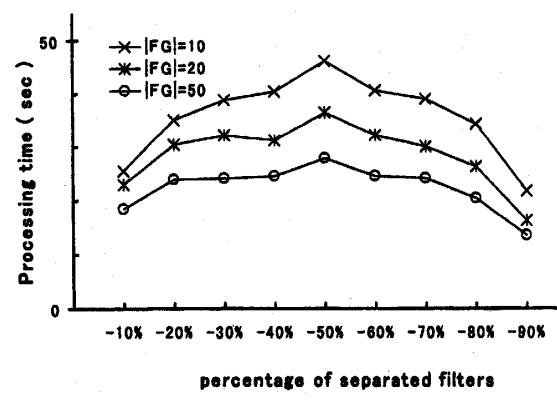


図7 分離処理時間

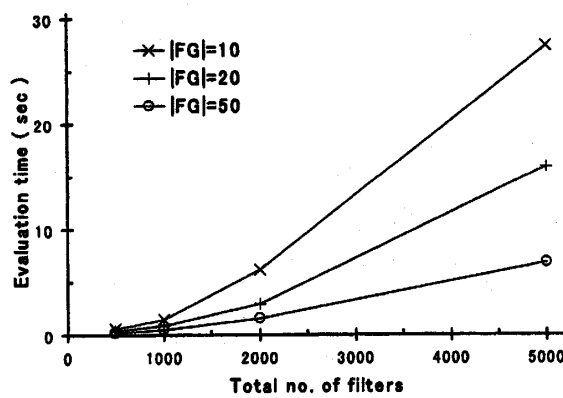


図6 結合処理時間（フィルタ総数の+20%）

い。さらに結合処理時間を含めても、+10%のときに15秒、+100%のときに48秒であり、図3のグラフでは+95%以下で再構築よりも、時間コストが低い結果となった。

実験1について考察する。結合処理を遅延させれば、データ評価時のXPushマシン構築処理コストは増すはずであるが、実験1の結果は違った。従来方式は、XMLデータには利用されていない遷移パスまでも構築が行われていたと考えられる。

実験2の結合処理時間の測定結果を図5に示す。グループサイズが10の結合処理時間は、+10%のとき1秒、+100%のとき11秒であった。グループサイズが大きいほど結合処理時間のコストは低く、結合割合が+100%で、グループサイズが10, 20, 50はそれぞれ11秒、6秒、3秒であった。

実験3の結合処理時間の測定結果を図6に示す。グループサイズが10の結合処理時間は、フィルタ総数500のとき1秒、5,000のとき28秒であった。グループサイズが大きいほど結合処理時間のコストは低く、結合割合が+100%で、グループサイズが10, 20, 50はそれぞれ28秒、16秒、7秒であった。

実験4の分離処理時間の測定結果を図7に示す。分離処理時間は、フィルタ総数の50%まではフィルタ分離割合が増えると増加する傾向にあったが、50%以上では減少する傾向にあった。グループサイズ10で、分離割合が-10%, -50%, -90%はそれぞれ3秒、68秒、30秒であった。グループサイズが大きいほど結合処理時間のコストは低く、分離割合が-50%で、グループサイズが10, 20, 50はそれぞれ58秒、46秒、36秒であった。

実験4について考察する。総フィルタ数の50%以上まとめて分離させると、分離処理の時間コストが減少する傾向にあった。このことは削除量が増えると状態遷移表の更新する範囲が狭くなるためと考えられる。

#### 4. おわりに

本研究では、統合型XPushマシンの結合処理と分離処理を遅延させる方式によって、統合型XPushマシンの更新コストを、従来方式に比べて削減することができた。

#### 参考文献

- 1) 内山寛之, 鬼塚真, 芳西崇: XML フィルタ配信システムにおける XPath の特徴量を用いた負荷分散方式, DEWS, 2004.
- 2) 武川肇, 片山薫, 石川博: インクリメンタルに更新可能な XPush マシン, 情報処理学会:データベース, Vol.46, No.SIG18(TOD28), pp.116-128, 2005.
- 3) XML path language(XPath). <http://www.w3.org/TR/xpath>.
- 4) Xsl transformations (xslt). <http://www.w3.org/TR/xslt>.
- 5) Gupta,A. Suciu,D. : Stream Processing of XPath Queries with Predicates. SIGMOD, pp. 419-430, 2003.
- 6) Kwon,J. Rao,P. Moon,B. L,Sukho. : FiST: Scalable XML Document Filtering by Sequencing Twig Patterns, VLDB, pp. 217-228, 2005.
- 7) Peng,F. Chawathe,S.S.: XPath Queries on Streaming Data, SIGMOD, pp. 431-442, 2003.
- 8) Tian,F. : Implementing A Scalable XML Publish/Subscribe System Using Relational Database Systems. SIGMOD, pp. 479-490, 2004.